

ЗОННАЯ СТРУКТУРА КОРОТКОПЕРИОДИЧЕСКИХ СВЕРХРЕШЕТОК III ТИПА

Герчиков Л. Г., Субашиев А. В., Далла Салман

Исследована трансформация спектра сверхрешетки III типа вблизи перехода полупроводник—полуметалл—полупроводник в случае большой проникаемости барьеров для легких носителей. Показано, что вследствие сильной дисперсии минизон по импульсу движения вдоль оси сверхрешетки интервал периодов, в котором спектр сверхрешетки соответствует полуметаллическому состоянию, оказывается очень широким. Кроме того, изменение порядка следования минизон приводит к существенному перераспределению плотности состояний в полуметаллической фазе.

Исследования зонной структуры и электрических свойств сверхрешеток (СР) III типа (т. е. содержащих слои бесщелевого полупроводника, например $\text{Cd}_x\text{Hg}_{1-x}\text{Te}$ — HgTe) позволили установить, что в таких СР при изменении толщин слоев происходит трансформация энергетического спектра типа полупроводник—полуметалл—непрямой полупроводник [1–5]. Было показано (см., например, [3–5]), что перестройка спектра обусловлена изменением положения специфических минизон ($S1$ и $S2$), происходящих из поверхностных состояний изолированных гетерограниц и соответствующих при большой ширине барьеров (т. е. слоев $\text{Cd}_x\text{Hg}_{1-x}\text{Te}$) антисимметричной и симметричной комбинациям пограничных состояний в слое бесщелевого полупроводника. Энергия состояний $S1$ и $S2$ сильно зависит от ширины квантовых ям d_1 (т. е. от толщины слоя HgTe) таким образом, что при малой ширине d_1 состояние $S1$ оказывается выше первой минизоны тяжелых дырок $h1$ и превращается в нижнюю электронную минизону. С увеличением ширины ям энергия уровня $S1$ уменьшается, что приводит вследствие расталкивания между поверхностным состоянием $S1$ и дырочным состоянием к резкому увеличению дисперсии минизон по импульсу движения носителей в плоскости слоев СР К, а при пересечении минизон — к перемене знака эффективных масс пересекающихся минизон. В частности, пересечение минизон $S1$ и $h1$ (при увеличении d_1) превращает минизону $h1$ в нижнюю электронную, а минизону $S1$ — в дырочную. При дальнейшем увеличении d_1 верхней дырочной становится минизона $h2$.

Описанное пересечение минизон проявляется в немонотонной зависимости ширины запрещения зоны СР от ее периода: $d = d_1 + d_2$ (d_2 — толщина слоев широкозонного материала, представляющих собой барьеры для носителей). Немонотонный характер поведения запрещенной зоны делает неоднозначной процедуру восстановления скачка валентной зоны на гетерогранице Λ_v , по данным электрических измерений [1–3, 6]. Анализ экспериментальных данных [2, 3, 6] осложняется тем, что в обычных СР с барьерами толщиной $d_2 > 40 \text{ \AA}$ ширина минизон $S1$ и $S2$ оказывается небольшой ($\sim 30 \text{ мэВ}$). Соответственно интервал периодов, в котором реализуются полуметаллическое состояние и состояние с растущей с увеличением периода d запрещенной зоной, оказывается весьма узким, а возникающие состояния с необычными свойствами — труднодоступными для экспериментального исследования.

В настоящей работе теоретически исследована эволюция спектра СР при изменении как ширины ям, так и ширины барьеров вблизи перехода полупроводник—металл—полупроводник в короткопериодических СР III типа с большой проницаемостью барьеров для легких носителей. Показано, что вследствие сильной дисперсии минизон по импульсу движения вдоль оси СР Q интервал периодов, в котором спектр СР соответствует полуметаллическому состоянию, оказывается очень широким. Кроме того, изменяется порядок следования минизон, что приводит к существенному перераспределению плотности состояний в полуметаллической фазе.

Качественный анализ спектра, выполненный на основе аналитического исследования дисперсионного уравнения, полученного ранее [5] методом огибающих, подтверждается его численными решениями для СР с различными толщинами слоев.

Порядок следования минизон СР, а также их ширина, соответствующая дисперсии спектра по Q , устанавливаются из решения независимых (при $K=0$) дисперсионных уравнений типа Кронига—Пенни [5] для легких и тяжелых носителей, определяющих положение краев минизон при $K=0$, $Q=0$, π/d :

$$Q = 0, \quad \left(\frac{k_{v_1}}{\varepsilon - \varepsilon_{v_1}} \right)^{\pm 1} \operatorname{ctg} \frac{k_{v_1} d_1}{2} = - \left(\frac{k_{v_2}}{\varepsilon - \varepsilon_{v_2}} \right)^{\pm 1} \operatorname{ctg} \frac{k_{v_2} d_2}{2}, \quad (1)$$

$$Q = \frac{\pi}{d}, \quad \left(\frac{k_{v_1}}{\varepsilon - \varepsilon_{v_1}} \right)^{\pm 1} \operatorname{ctg} \frac{k_{v_1} d_1}{2} = \left(\frac{k_{v_2}}{\varepsilon - \varepsilon_{v_2}} \right)^{\pm 1} \operatorname{tg} \frac{k_{v_2} d_2}{2}, \quad (2)$$

где знак + соответствует четным в слоях HgTe, а — — нечетным минизонам легких ($\nu=l$) и тяжелых ($\nu=h$) носителей; ε_{v_1} , $\varepsilon_{v_2} = \varepsilon_{v_1} - \Lambda_\nu$ — положение краев валентной зоны в материале 1 (яма) и 2 (барьер); ε — энергия состояний; $k_{v_{1,2}}$ — волновой вектор носителя сорта $\nu=l, h$ в материалах 1 и 2 соответственно. Величины $k_{v_{1,2}}$ (вещественные или мнимые) находятся по законам дисперсии носителей в объемных материалах. Существенно, что в случае СР III типа уравнения (1), (2) для $\nu=l$ имеют дополнительные решения $S1$ (нечетное при $Q=0$) и $S2$ (четное при $Q=0$), которым могут соответствовать чисто мнимые значения k_{l_1} , k_{l_2} . Положение краев минизон для СР $\text{Cd}_{0.5}\text{Hg}_{0.5}\text{Te}$ —HgTe при ширине барьеров $d_2 = 20 \text{ \AA}$ в зависимости от ширины ям показано на рис. 1 (использованные в расчете параметры материалов совпадают с общепринятыми, см. [7]). Начало отсчета энергии соответствует $\varepsilon_{v_2} = 0$. Из рис. 1 следует, что пересечение минизон $S1$ и hl при увеличении d_1 впервые происходит при $Q=0$. Соответствующее значение d_1 обозначим через d_{1S}^+ . Спектр минизон при $d_1 < d_{1S}^+$ показан на рис. 2, а. В этой области качественное отличие спектра минизон от спектра СР с широкими барьерами (см. [1, 5, 6]) состоит лишь в сильной дисперсии легких минизон по Q . При $d_1 > d_{1S}^+$ точка пересечения минизон $S1$ и hl $Q=Q_0$ смещается в область больших Q . Для СР с малым отношением масс легких и тяжелых носителей $\beta = m_l/m_h \ll 1$ и высокой прозрачностью барьеров ($|k_{l_2} d_2| = \sqrt{2m_{l_2}\Lambda_\nu} d_2/\hbar \ll 1$) смещение точки Q_0 (за исключением области малых значений $Q_0 \sim |k_{l_2} d_2| \ll 1$, когда $|d_1 - d_{1S}^+| \sim d_{1S}^+$) может быть найдено из уравнения [5]

$$d_1 = \frac{2\hbar^2 \sin^2 \frac{Q_0 d}{2}}{m_{l_1} \Lambda_\nu d_2} \left[1 + \frac{\beta \pi^2}{4} \left(\operatorname{ctg}^2 \frac{Q_0 d}{2} + \frac{1}{3} \right) \right]. \quad (3)$$

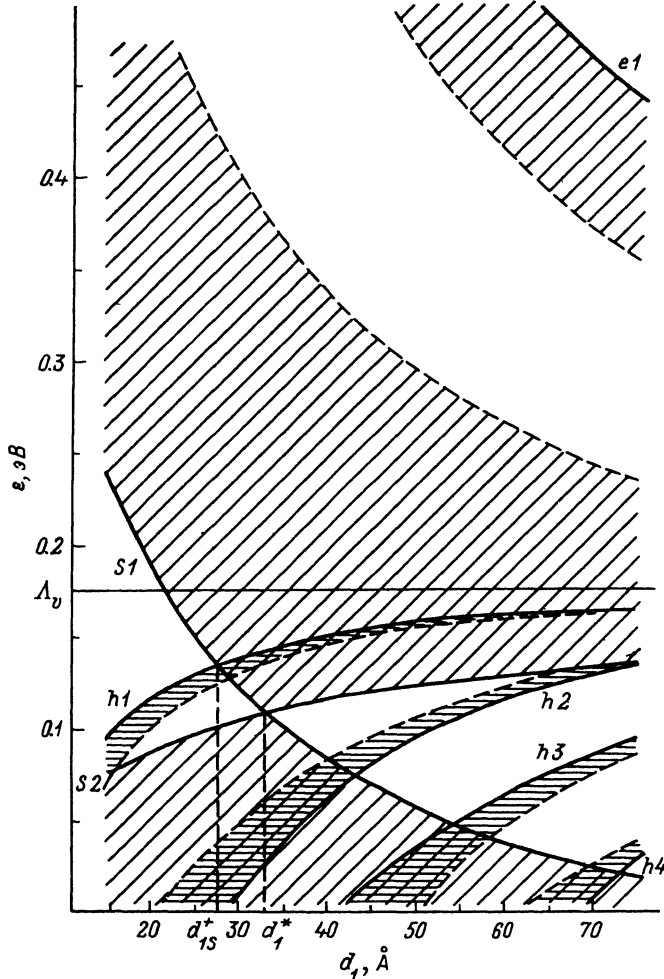


Рис. 1. Положение краев минизон ($Q=0$ — сплошные линии, $Q=\pi/d$ — штриховые) в $\text{Cd}_{0.5}\text{Hg}_{0.5}\text{Te}-\text{HgTe}$ в зависимости от толщины d_1 слоев HgTe .

Толщина барьеров $d_2 = 20 \text{ \AA}$, $\Lambda_v = 0.175 \text{ эВ}$.

Сильное расталкивание пересекающихся минизон легких и тяжелых дырок в точке $Q=Q_0$ ($0 < Q_0 < \pi/d$) приводит к тому, что массы поперечного движения обращаются в нуль, а вдали от $Q=Q_0$ имеют противоположные знаки. Значение $Q_0 = \pi/d$ достигается при пересечении минизоны $h1$ и верхнего края верхней минизоны пограничных состояний. Соответствующее значение ширины квантовых ям d_1 обозначим через d_{1s}^* . Таким образом, во всем интервале $d_{1s}^* < d_1 < d_{1s}$ спектр СР соответствует бесщелевому состоянию.

Вследствие слабой прозрачности барьеров для тяжелых дырок и, следовательно, экспоненциально малой дисперсии минизоны $h1$ по Q [$\sim \exp(-|k_{b2}d_2|)$] это состояние близко к полуметаллическому (с конечной плотностью состояний на уровне Ферми). В непосредственной окрестности уровня Ферми ϵ_F имеется экспоненциально узкая [$\sim \exp(-|k_{b2}d_2|)$] щель, в которой плотность состояний $g(\epsilon) \propto (\epsilon - \epsilon_F)^2$.

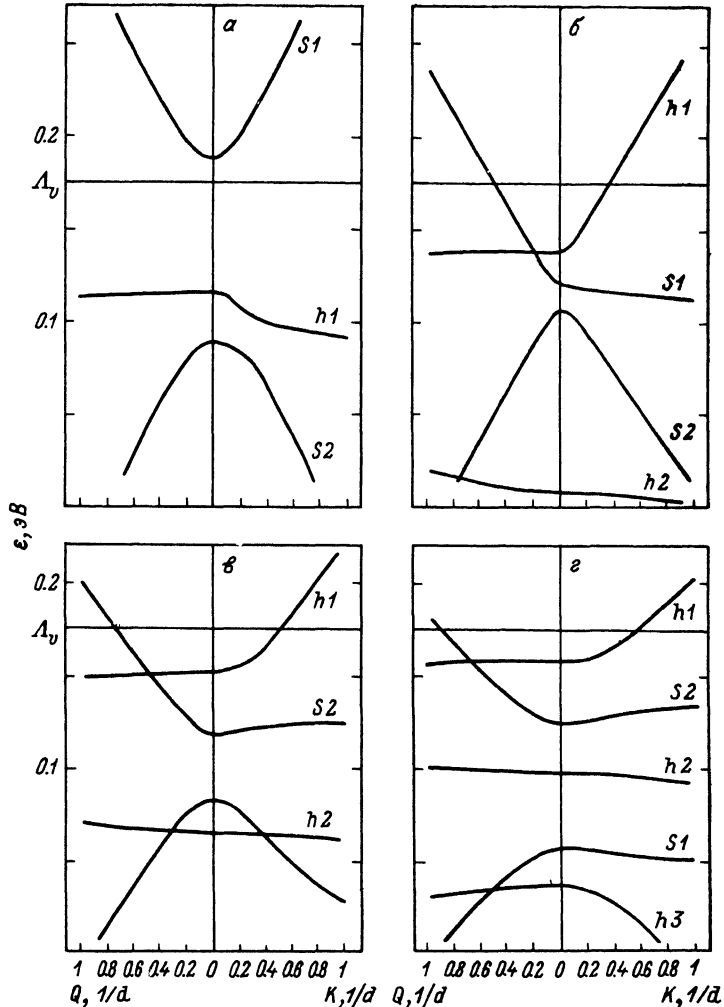


Рис. 2. Изменение спектра минизон СР при увеличении толщины слоев HgTe. Толщина барьеров $d_2 = 20 \text{ \AA}$, $\Lambda_v = 0.175 \text{ эВ}$; d_1 , Å : а - 20, б - 30, в - 40, г - 50.

В СР с узкими барьерами вследствие значительной дисперсии по Q минизоны граничных состояний ширина интервала $d_{1S}^+ < d_1 < d_{1S}^-$ (рис. 1) оказывается большой. Действительно, значения величин d_{1S}^+ и d_{1S}^- в СР с $\beta \ll 1$ близки к точкам пересечения зоны $S1$ с уровнем ε_{v_1} :

$$d_{1S}^+ \approx \frac{m_{12}}{m_{11}} d_2 \operatorname{th}(x)/x, \quad d_{1S}^- \approx \frac{m_{12}}{m_{11}} d_2 \operatorname{cth}(x)/x, \quad (4)$$

где $x = \sqrt{m_{12} \Lambda_v d_2^2 / 2 \hbar^2}$. При высокой прозрачности барьеров $x \ll 1$

$$d_{1S}^+ \approx \frac{m_{12}}{m_{11}} d_2 \left(1 - \frac{x^2}{3}\right), \quad d_{1S}^- \approx \frac{m_{12}}{m_{11}} \frac{d_2}{x^2}. \quad (5)$$

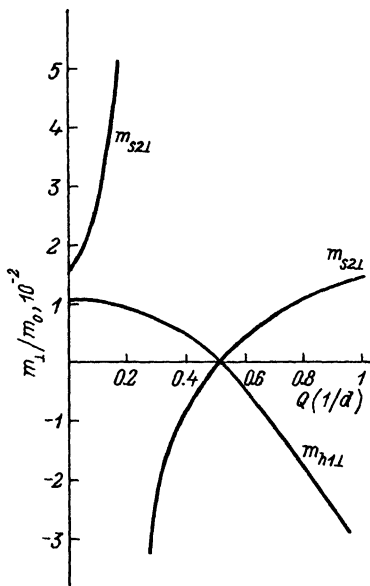


Рис. 3. Зависимость поперечных масс подзон $m_{S2\perp}$ и $m_{h1\perp}$ вблизи области их пересечения от импульса движения вдоль оси СР.

$d_1 = 40$, $d_2 = 20$ Å, m_0 — масса свободного электрона.

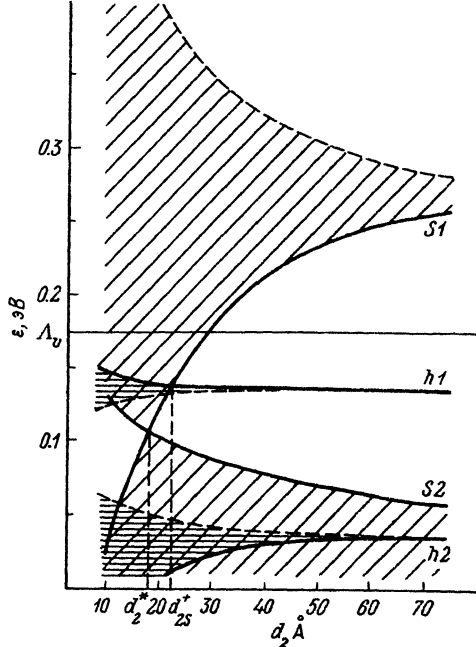


Рис. 4. Положение краев минизон СР $\text{Cd}_{0.5}\text{Hg}_{0.5}\text{Te}-\text{HgTe}$ ($Q=0$ — сплошные линии, $Q=\pi/d$ — штриховые) в зависимости от толщины барьеров d_2 .

Толщина слоев HgTe $d_1 = 30$ Å.

Эволюция спектра при $d_{1S}^+ < d_1 < d_{1S}^-$ определяется характером пересекающихся минизон. Анализ этого взаимодействия [4, 5] показывает, что сильное расталкивание имеется между минизонами разной четности при $Q=0$, π/d , а взаимодействие между минизонами одинаковой четности ослаблено. Кроме того, в короткопериодической СР нижний край верхней зоны пограничных состояний $S1$ с ростом d_1 резко опускается (рис. 1), пересекая вслед за зоной $h1$ верхний край $S2$ нижней зоны пограничных состояний при $d_1 = d_1^* = \frac{m_{11}}{m_{12}} d_2$, так что точки пересечения d_{1S}^+ и d_1^* близки. В интервале $d_{1S}^+ < d_1 < d_1^*$ нижний край верхней зоны $S1$ оказывается между минизонами $h1$ и $S2$. Сильное взаимодействие с этими минизонами приводит к резкому изменению массы поперечного движения m_{\perp} . Вблизи середины интервала взаимодействия состояния $S1$ с $h1$ и $S2$ комбинируются и масса m_{\perp} минизоны $S1$ становится аномально большой (рис. 2, б). При дальнейшем увеличении d_1 в широком интервале $d_1^* < d_1 < d_{1S}^-$ нижнему краю верхней поверхностной минизоны соответствует состояние $S2$, четность которого совпадает с четностью нижнего края электронной (в этом интервале d_1) минизоны $h1$. Слабое взаимодействие между состояниями $h1$ и $S2$ и их сильное отталкивание от края $S1$ нижележащей минизоны делают поперечную массу $m_{\perp}(Q)$ верхней минизоны пограничных состояний положительной при малых $Q \leq x$ (рис. 2, в, з). В частности, из формул, полученных в [5], следует, что в интервале $d_{1S}^+ \ll d_1 \ll d_{1S}^-$ при $Q=0$

$$m_{S2\perp} = \frac{4m_{11}(d_1 - d_1^*)}{d_1 - 3\beta(d_1 - d_1^*) \text{ y ctg } y}, \quad (6)$$

где $y = \sqrt{d_1/\beta \bar{d}_{1S}}$. Зависимость масс $m_1(Q)$ от Q для пересекающихся минизоны $h1$ и минизоны пограничных состояний показана на рис. 3. Следует отметить, что вследствие слабости взаимодействия состояний $h1$ и $S2$ в короткопериодической СР значения их масс в области пересечения (т. е. вблизи уровня Ферми), а значит, и плотность состояний $g(\epsilon)$ оказываются в $1/x^2$ раз большими, чем в обычной СР при пересечении минизон $h1$ и $S1$. Обращение m_{S21} в бесконечность происходит при полной компенсации вкладов в дисперсию верхней минизоны от удаленного состояния $S1$ и близлежащего, но слабо взаимодействующего с $S2$ состояния $h1$. При меньших значениях Q экстремум дисперсии верхней минизоны по K сдвигается в область конечных K (рис. 2, в, г). Наличие экстремума в дисперсии $S2$ должно приводить к появлению дополнительной особенности в плотности состояний.

Отметим, что при малом отношении масс носителей β описанная выше сильная трансформация спектра при изменении d_1 происходит в области малых $K \leq \beta^{1/2}/d_1$. При больших значениях $K \geq \pi/d_1$ минизоны приближаются к своим асимптотикам, соответствующим независимому квантованию легких и тяжелых носителей [4, 5].

На рис. 4 показана зависимость положения краев минизон от ширины барьеров d_2 . Поскольку дисперсия минизон по K определяется их относительным расположением, трансформация минизонного спектра при $x \ll 1$, аналогичная описанной выше, имеет место и при уменьшении ширины барьеров d_2 от значений

$$d_2 > d_{2s}^* = \frac{m_{11}}{m_{12}} d_1 \left(1 + \frac{x^2}{3}\right) \text{ до } d_2 < d_2^* = \frac{m_{11}}{m_{12}} d_1.$$

Описанные особенности минизонного спектра короткопериодических СР III типа, в частности сильная дисперсия поперечных масс в полуметаллической фазе, существенны при интерпретации экспериментальных данных по циклотронному резонансу [8], электрическим [2] и магнитооптическим свойствам СР [9].

Авторы благодарны С. А. Мартынову за помощь в проведении численных расчетов.

СПИСОК ЛИТЕРАТУРЫ

- [1] Johnson N. F., Hui P. M., Ehrenreich H. // Phys. Rev. Lett. 1988. V. 61. N 17. P. 1993—1995.
- [2] Meyer J. R., Hoffman C. A., Bartoli F. J. et al. // Phys. Rev. B. 1988. V. 38. N 3. P. 2204—2207.
- [3] Hoffman C. A., Meyer J. R., Bartoli F. J. // Phys. Rev. B. 1989. V. 40. N 6. P. 3867—3871.
- [4] Gerchikov L. G., Subashiev A. V. // Phys. St. Sol. (b). 1990. V. 160. N 2. P. 443—457.
- [5] Герчиков Л. Г., Субашиев А. В., Рожнов Г. В. // ЖЭТФ. 1992. Т. 101. В. 1. С. 286—295.
- [6] Hoffman C. A., Meyer J. R., Bartoli F. J. et al. // Phys. Rev. B. 1989. V. 39. N 8. P. 5208—5223.
- [7] Meyer J. R., Wagner R. J., Bartoli F. J., Hoffman C. A., Ram-Mohan L. R. // Phys. Rev. B. 1989. V. 40. N 2. P. 1388—1396.
- [8] Voos M. et al. // Superlatt. a. Microstruct. 1990. V. 8. N 2. P. 167—171.
- [9] Voos M., Faurie J. R. et al. // Phys. Rev. B. 1986. V. 34. N 1. P. 891—902.